

บทที่ 3

การตรวจจับแรงดันตกชั่วขณะนิิตสามเฟสโดยวิธีของฟต์แวร์เฟล็อกลูป

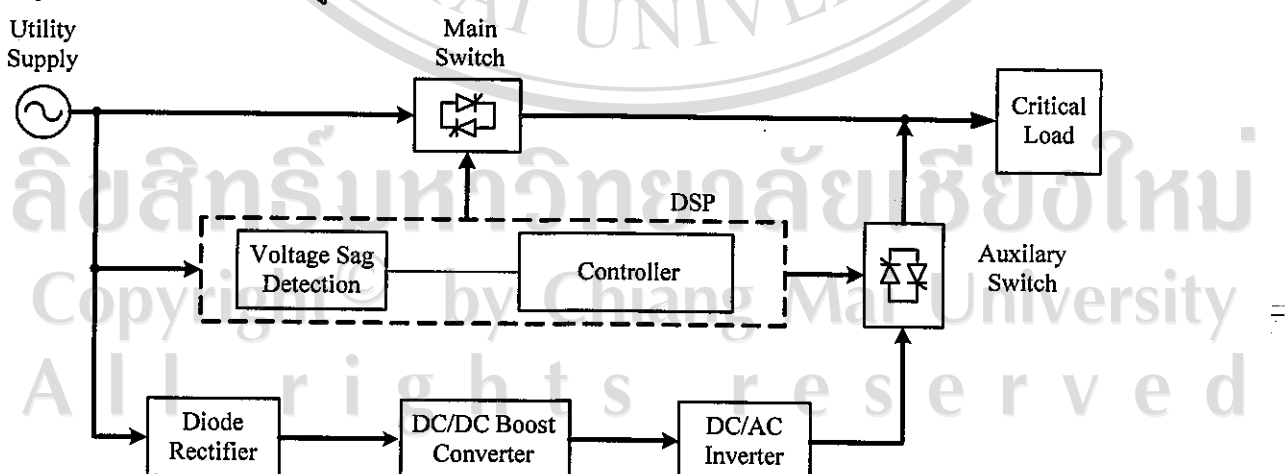
3.1 บทนำ

คำมุนเฟสของแหล่งจ่ายไฟฟ้าเป็นข้อมูลที่สำคัญสำหรับการทำงานของตัวแปลงกำลัง (Power converters) ที่เชื่อมต่อ (Interface) อยู่กับแหล่งจ่ายไฟฟ้าชั้น วงจรเรียงกระแส วงจรกรอง แยกทีฟ ไซโคลคอมเวอร์เตอร์ แหล่งจ่ายกำลังชนิดไม่ขาดช่วง (Uninterruptible power supplies : UPS) ระบบไฟฟ้าอิเล็กทรอนิกส์กับโครงสร้างไฟฟ้า (Grid-connected photovoltaic system) และระบบผลิตพลังงานไฟฟ้าด้วยพลังงานลม เพื่อให้อุปกรณ์เหล่านี้ทำงานหรือหยุดทำงาน โดยที่แรงต้นของแหล่งจ่ายแบบไม่สมดุล แรงดันตกชั่วขณะและการเปลี่ยนแปลงของความถี่ในแหล่งจ่ายไฟฟ้าคือสภาวะทั่วไปที่ตัวแปลงกำลังเหล่านี้ต้องพบอยู่เสมอ ซึ่งข้อมูลคำมุนเฟสภายใต้สภาวะเหล่านี้สามารถหาได้โดยใช้วิธีของฟต์แวร์เฟล็อกลูปซึ่งไม่เพียงที่จะสามารถลีกคัมมูนเฟสของแหล่งจ่ายไฟฟ้าอย่างรวดเร็วและยังให้ค่ารัลลอก (Ripple) ของเอาต์พุตที่ต่ำอีกด้วย

ในบทนี้จะนำเสนอวิธีการวิเคราะห์และการออกแบบของซอฟต์แวร์เฟล็อกลูปเพื่อประยุกต์ใช้ในการตรวจจับแรงดันตกชั่วขณะนิิตสามเฟสภายใต้เงื่อนไขในสภาวะการเกิดแบบสมดุลและไม่สมดุลทั้งในกรณีที่เป็นระบบเชิงเดินและระบบที่มีชาร์มอนิกปะบันอยู่ของแหล่งจ่าย

3.2 แนวคิดในการออกแบบและสร้างวงจรการตรวจจับแรงดันตกชั่วขณะ

วงจรตรวจจับแรงดันตกชั่วขณะมีหลักการทำงานภายใต้แนวคิดของต้นแบบอุปกรณ์แก็บปัญหาแรงดันตกชั่วขณะดังรูปที่ 3.1



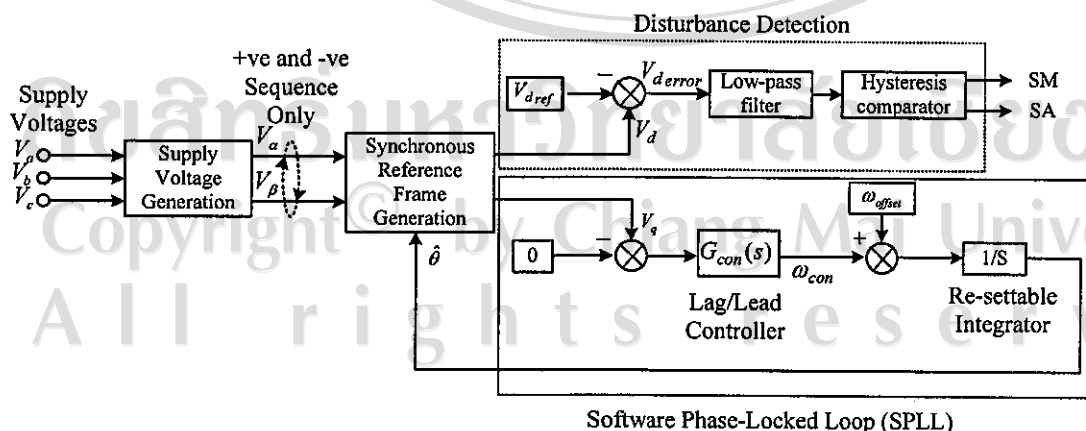
รูปที่ 3.1 หลักการทำงานของต้นแบบอุปกรณ์แก็บปัญหาแรงดันตกชั่วขณะ

จากรูปที่ 3.1 วงจรคอนเวอร์เตอร์จะเป็นแหล่งจ่ายไฟฟ้าทุกแทนไปสู่โหลดในกรณีที่แรงดันของแหล่งจ่ายไฟฟ้ามีค่าต่ำกว่าเกณฑ์ที่กำหนดไว้ และภายใต้การทำงานปกติโหลดจะเชื่อมต่อเข้ากับแหล่งจ่ายไฟฟ้า โดยผ่านสวิตช์หลัก (Main Switch: SM) เมื่อเกิดแรงดันตกชั่วขณะสวิตช์หลักจะเปิดวงจร และสวิตช์ช่วย (Auxiliary Switch: SA) จะเริ่มปิดวงจรเพื่อเชื่อมต่อโหลดเข้ากับอินเวอร์เตอร์ และเมื่อกลับเข้าสู่ภาวะปกติโหลดจะเชื่อมต่อเข้ากับสวิตช์หลักเช่นเดิม ซึ่งอินเวอร์เตอร์จะทำงานตลอดเวลา และแรงดันเอาต์พุตจะซิงโครไนซ์กับแหล่งจ่ายไฟฟ้า

ดังนั้นในส่วนของวงจรตรวจจับแรงดันตกชั่วขณะ (Voltage sag detection) จะถูกใช้งานเพื่อที่จะเปลี่ยนถ่ายโหลดระหว่างแหล่งจ่ายไฟฟ้า โดยสังการสวิตช์ระหว่างสวิตช์หลักกับสวิตช์ช่วย และต้องมีคุณสมบัติคือสามารถตรวจจับขนาด ช่วงเวลาในการเกิดและการเลื่อนเฟสของแรงดันตกชั่วขณะ ในสภาวะการเกิดแบบสมดุลและไม่สมดุล ทั้งในกรณีที่เป็นระบบเชิงเส้นและระบบที่มีชาร์มอนิกปะปนอยู่ของแหล่งจ่าย ซึ่งการตรวจจับได้เร็วท่าได้ก็จะสามารถช่วยแก้ปัญหาได้เร็วท่านี้ อีกทั้งยังสามารถนำข้อมูลที่ได้ไปใช้ในการพัฒนาออกแบบและสร้างต้นแบบอุปกรณ์ชุดเชยแรงดันตกชั่วขณะในรูปแบบอื่นๆ ไป

3.3 โครงสร้างของวงจร

โครงสร้างของวงจรการตรวจจับแรงดันตกชั่วขณะที่นำเสนอในรูปที่ 3.2 โดยที่การทำงานของวงจรจะเริ่มต้นจากทำการแปลงแรงดันของแหล่งจ่ายชนิดสามเฟส (V_a, V_b, V_c) ให้เป็นในรูปของแรงดันกระแสตรงบันaken $d - q$ ที่มุ่งด้วยความเร็วซิงโครนัส (V_d, V_q) จากนั้นชอฟต์แวร์เฟสต์อกลูป ซึ่งมีหน้าที่สร้างสัญญาณที่มีความถี่และเฟสตรงกับแรงดันของแหล่งจ่ายจะถือกให้มุมเอาต์พุต (θ) ของชอฟต์แวร์เฟสต์อกลูปให้มีค่าตรงกับมุมแรงดันของแหล่งจ่าย (θ) ซึ่งหลักการนี้จะถูกนำมาใช้เพื่อตรวจจับการเปลี่ยนแปลงแรงดันของแหล่งจ่ายได้



รูปที่ 3.2 โครงสร้างของวงจรการตรวจจับแรงดันตกชั่วขณะชนิดสามเฟส

จากูปที่ 3.2 สัญลักษณ์และตัวแปรที่ใช้มีความหมายดังต่อไปนี้

V_a, V_b, V_c	คือแรงดันของแหล่งจ่าย
V_α, V_β	คือองค์ประกอบของแรงดันบนแกนหุ้น
V_d, V_q	คือองค์ประกอบของแรงดันบนแกนที่หมุนด้วยความเร็วซิง โครนัส

ในกรณีที่แรงดันสามเฟสแบบสมดุล V_d จะมีค่าเป็นแรงดันกระแสตรงคงที่ค่าหนึ่ง แต่ถ้าเกิดแรงดันตกชั่วขณะ V_d จะเป็นค่าหนึ่งตามลักษณะการเกิดแรงดันตกชั่วขณะ นั่นคือ V_d จะเป็นตัวชี้วัดการเกิดแรงดันตกชั่วขณะว่าเริ่มต้นและสิ้นสุดเมื่อใดโดย V_d ที่ได้จะถูกนำไปเปรียบเทียบกับค่าอ้างอิง ($V_{d\text{ref}}$) เพื่อหาค่าความผิดพลาดที่เกิดขึ้น ($V_{d\text{error}}$) จากนั้นนำค่าความผิดพลาดที่ได้สู่กระบวนการตรวจสอบการทำงาน(Disturbance detection) ก่อนการตัดสินว่าจะให้สวิตช์หลัก และสวิตช์ช่วย เปิดหรือปิดวงจรซึ่งกระบวนการตรวจสอบการทำงานเป็นส่วนสำคัญในการควบคุมการทำงานของวงจรการตรวจจับแรงดันตกชั่วขณะ โดยกระบวนการนี้มีหน้าที่หลัก 2 ประการที่จะต้องทำให้โหลดที่มีความสำคัญ (Critical Load) ทำงานให้ได้อย่างเหมาะสม นั่นคือ

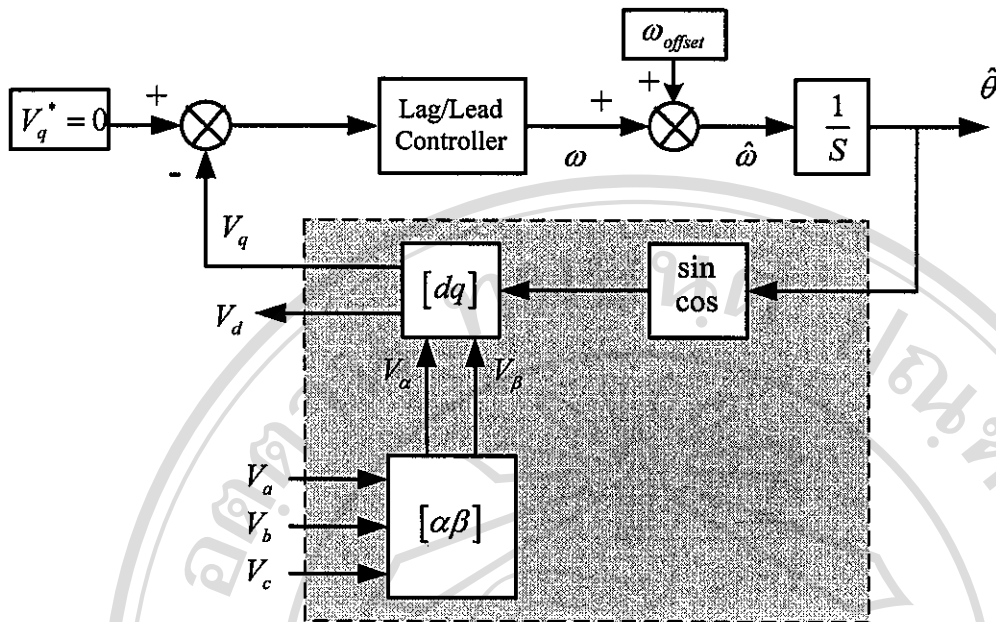
1) เมื่อแรงดันตกชั่วขณะมีพังสภาวะการเกิดแบบสมดุลและไม่สมดุล ตั้งนั้นกระบวนการนี้จะต้องสามารถตรวจจับแรงดันตกชั่วขณะได้อย่างทันทีทันใด เพราะถ้าตรวจจับได้เร็วเพียงใดย่อมทำให้อุปกรณ์แก้ไขปัญหาแรงดันตกชั่วขณะทำงานได้รวดเร็วมากขึ้นเท่านั้น

2) กระบวนการจะต้องสามารถแยกแบบให้ได้ว่า แรงดันตกชั่วขณะที่เกิดขึ้นในขณะนั้นเกินกว่าขอบเขตหรือยัง เพื่อการเปลี่ยนโหมดการทำงานที่ถูกต้องเมื่อยังไม่เกินขอบเขต เช่นเกิดแรงดันตกชั่วขณะ 2 % หรือ 3 % ก็ยังไม่ต้องเปลี่ยนโหมดการทำงาน

3.4 หลักการของวิธีซอฟต์แวร์เฟลส์อกกูป

หลักการของวิธีซอฟต์แวร์เฟลส์อกกูปแสดงดังรูปที่ 3.3 โดยเริ่มต้นจากแปลงแรงดันของแหล่งจ่ายชนิดสามเฟส (V_a, V_b, V_c) ให้อยู่ในรูปแรงดันกระแสตรงบนแกน $d - q$ (V_d, V_q) ซึ่งเป็นแกนอ้างอิงที่ซิงโครในซึ่งกับความถี่ของแหล่งจ่าย ค่ามุมเฟส (θ) ที่ถูกใช้ในการแปลงนี้ได้มาจากการอินทิเกรตค่าคำสั่งของความถี่ ($\hat{\omega}$) ถ้าค่าคำสั่งของความถี่เหมือนกับความถี่ของแหล่งจ่าย แรงดัน V_d และ V_q จะมีค่าเป็นแรงดันกระแสตรงโดยขึ้นอยู่กับค่ามุมเฟส (θ)

ตัวควบคุมแบบเฟสตามและเฟสนำ (Lag/lead controller) ถูกใช้ในการหาค่าของ $\hat{\theta}$ (หรือ $\hat{\omega}$) ที่ซึ่งจะป้อนให้แรงดันป้อนกลับ V_q ไปสู่ค่าคำสั่ง V_q^* หรืออาจกล่าวได้ว่าผลของการปรับค่าบนแกนหมุนในแกนอ้างอิงมีความเกี่ยวเนื่องซึ่งกันและกัน ความถี่ในการหมุนของแกนอ้างอิงนี้จะเป็นตัวบอกความถี่ของแหล่งจ่าย



รูปที่ 3.3 แผนภาพของวิธีซอฟต์แวร์เฟสล็อกคูป

3.4.1 แบบจำลองของซอฟต์แวร์เฟสล็อกคูป

จากแผนภาพของวิธีซอฟต์แวร์เฟสล็อกคูปดังรูปที่ 3.3 จะเห็นได้ว่าแรงดันของแหล่งจ่ายชนิดสามเฟส (V_a, V_b, V_c) ถูกแปลงให้อยู่ในรูปแรงดันกระแสตรงบนแกน $d-q$ ที่หมุนด้วยความเร็วซิงโกรนัส (V_d, V_q) ซึ่งในวิธีซอฟต์แวร์เฟสล็อกคูปจะเป็นการควบคุมแบบปิด (Closed-loop) ผ่านค่า V_q เท่านั้น เมื่อกำหนดให้แหล่งจ่ายแรงดันชนิดสามเฟสเป็นแบบสมดุล แบบจำลองของซอฟต์แวร์เฟสล็อกคูปสามารถหาได้จากการแปลงดังต่อไปนี้

$$\begin{bmatrix} V_a \\ V_b \\ V_c \end{bmatrix} = \begin{bmatrix} V_m \cos(\theta) \\ V_m \cos(\theta - \frac{2\pi}{3}) \\ V_m \cos(\theta + \frac{2\pi}{3}) \end{bmatrix} \quad (3.1)$$

โดยที่ θ คือฟองก์ชันที่เป็นเชิงเส้นกับเวลา ($\theta = \omega t$) สำหรับสมการในการแปลงแรงดันอินพุตจากสัญญาณในรูปสามเฟส ไปอยู่ในแกนหมุนนิ่ง (Stationary frame) ดังสมการที่ (3.2)

$$\begin{bmatrix} V_\alpha \\ V_\beta \end{bmatrix} = \frac{2}{3} \cdot \begin{bmatrix} 1 & -\frac{1}{2} & -\frac{1}{2} \\ 0 & -\frac{\sqrt{3}}{2} & \frac{\sqrt{3}}{2} \end{bmatrix} \begin{bmatrix} V_a \\ V_b \\ V_c \end{bmatrix} \quad (3.2)$$

จากสมการที่ (3.2) การแปลงแรงดันชนิดสามเฟสให้อยู่ในรูปแรงดันกระแสลับ 2 เฟสบนแกน หยุดนิ่ง สามารถอธิบายได้คือแรงดันเป็นจำนวนเชิงซ้อนซึ่งมีทั้งขนาด (Magnitude) และมุม (Phase) ดังนั้นจึงสามารถแปลงแรงดันชนิดสามเฟสให้มาอยู่ในรูป $[\alpha, \beta]$ ได้โดยแยกแรงดันไปอยู่ในรูปของจำนวนจริง (Real) กับจำนวนจินตภาพ (Imaginary) โดยกำหนดแรงดันชนิดสามเฟส เป็นดังสมการที่ (3.3)

$$\begin{aligned} V_a &= V \angle 0^\circ = V(\cos(0) + j \sin(0)) = V(1 + j0) \\ V_b &= V \angle -120^\circ = V\left(\cos\left(-\frac{2\pi}{3}\right) + j \sin\left(-\frac{2\pi}{3}\right)\right) = V\left(-\frac{1}{2} - j\frac{\sqrt{3}}{2}\right) \\ V_c &= V \angle 120^\circ = V\left(\cos\left(\frac{2\pi}{3}\right) + j \sin\left(\frac{2\pi}{3}\right)\right) = V\left(-\frac{1}{2} + j\frac{\sqrt{3}}{2}\right) \end{aligned} \quad (3.3)$$

จากสมการที่ (3.3) นำค่าจำนวนจริงรวมเข้าด้วยกันก็จะได้ค่าในແຄມແຣກของสมการที่ (3.2) และ เมื่อนำค่าจำนวนจินตภาพรวมเข้าด้วยกันก็จะได้ค่าในແຄວที่สองของสมการที่ (3.2) โดยที่ค่า $2/3$ ที่นำมาคูณเพื่อทำให้เป็นแบบบรรทัดฐานหรือแบบนอร์มอลайซ์ (Normalize) ค่า V_α ให้เป็น 1 เพื่อให้ง่ายต่อการสังเกต และจากสมการที่ (3.2) จัดรูปสมการใหม่จากการคำนวณจะได้ดังสมการที่ (3.4)

$$\begin{aligned} V_\alpha &= \frac{2}{3} \left[V \angle 0^\circ - \frac{1}{2} V \angle -120^\circ - \frac{1}{2} V \angle 120^\circ \right] = \frac{2}{3} \left[\frac{3}{2} V \angle 0^\circ \right] \\ &= V \angle 0^\circ = V_a \\ V_\beta &= \frac{2}{3} \left[-\frac{\sqrt{3}}{2} V \angle -120^\circ + \frac{\sqrt{3}}{2} V \angle 120^\circ \right] = \frac{2}{3} \left[\frac{3}{2} V \angle 90^\circ \right] = V \angle 90^\circ \\ &= \frac{1}{\sqrt{3}} (V_c - V_b) \end{aligned}$$

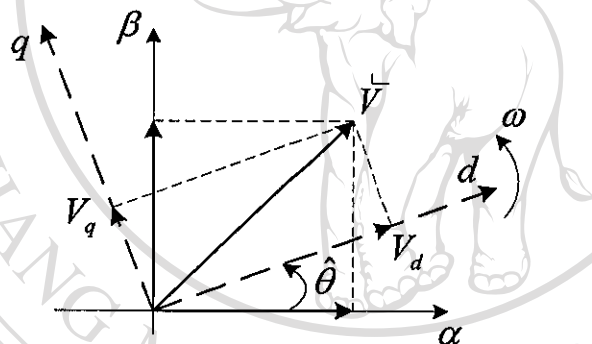
$$\begin{bmatrix} V_\alpha \\ V_\beta \end{bmatrix} = \begin{bmatrix} V_a \\ \frac{1}{\sqrt{3}} (V_c - V_b) \end{bmatrix} \quad (3.4)$$

จากนั้นแปลงสัญญาณที่ได้ไปอยู่ในแกนหมุนด้วยความเร็วซิงโกรนัส (Synchronous frame) โดยใช้มุมอาจต์พุตของซอฟต์แวร์เฟสลีกคูป($\hat{\theta}$) คือ

$$\begin{bmatrix} V_d \\ V_q \end{bmatrix} = \begin{bmatrix} \cos(\hat{\theta}) & -\sin(\hat{\theta}) \\ \sin(\hat{\theta}) & \cos(\hat{\theta}) \end{bmatrix} \begin{bmatrix} V_\alpha \\ V_\beta \end{bmatrix} \quad (3.5)$$

โดยที่ ตัวห้อ α, β คือ องค์ประกอบของแรงดันบนแกนหมุนนั่ง
ตัวห้อ d, q คือ องค์ประกอบของแรงดันบนแกนหมุนด้วยความเร็วซิงโกรนัส

การแปลงแรงดันกระแสสลับที่แกนหมุนนั่ง ให้เป็นแรงดันกระแสตรงที่อยู่ในแกนหมุนด้วยความเร็วซิงโกรนัส เปรียบเสมือนการที่สังเกตการเคลื่อนที่ของวัตถุ ในขณะที่มีความเร็วเท่ากันกับวัตถุซึ่งจะทำให้ทราบการเปลี่ยนแปลงของวัตถุ ได้ง่ายในกรณีที่วัตถุเคลื่อนที่ไปจากเดิม โดยความสัมพันธ์ระหว่างแกนอ้างอิงสามารถแสดงได้ดังรูปที่ 3.4



รูปที่ 3.4 ความสัมพันธ์ระหว่างแกนอ้างอิงของแกนหมุนนั่งกับแกนหมุน

และเมื่อแทนค่าสมการที่ (3.1) และ (3.4) ลงในสมการที่ (3.5) จะได้

$$\begin{aligned} V_d &= \cos \hat{\theta} \cdot V_a - \sin \hat{\theta} \cdot (V_c - V_b) / \sqrt{3} \\ &= V_m \cos \hat{\theta} \cdot \cos \theta - V_m \sin \hat{\theta} \cdot (\cos(\theta + 2\pi/3) - \cos(\theta - 2\pi/3)) / \sqrt{3} \\ &= V_m \cos \hat{\theta} \cdot \cos \theta - V_m \sin \hat{\theta} \cdot (-2 \cdot \sin \theta \cdot \sin(\pi/3)) / \sqrt{3} \\ &= V_m \cos \hat{\theta} \cdot \cos \theta + V_m \sin \hat{\theta} \cdot \sin \theta = V_m \cdot \cos(\hat{\theta} - \theta) \\ &= V_m \cdot \cos(\Delta\theta) \\ V_q &= \sin \hat{\theta} \cdot V_a + \cos \hat{\theta} \cdot (V_c - V_b) / \sqrt{3} \\ &= V_m \sin \hat{\theta} \cdot \cos \theta - V_m \cos \hat{\theta} \cdot \sin \theta = V_m \cdot \sin(\hat{\theta} - \theta) \\ &= V_m \cdot \sin(\Delta\theta) \end{aligned}$$

$$\begin{bmatrix} V_d \\ V_q \end{bmatrix} = V_m \begin{bmatrix} \cos(\Delta\theta) \\ \sin(\Delta\theta) \end{bmatrix} \quad (3.6)$$

จากสมการที่ (3.6) ถ้าค่าความผิดพลาด ($\Delta\theta$) มีค่าเท่ากับศูนย์ แสดงว่ามุมแรงดันของแหล่งจ่าย (θ) และมุมเอาต์พุตของซอฟต์แวร์เฟล็อกลูป ($\hat{\theta}$) นั้นมีค่าตรงกัน ผลที่เกิดขึ้นคือ V_d จะเท่ากับ V_m และ V_q จะเท่ากับศูนย์ดังนี้เรื่องสามารถล็อกให้มุมเอาต์พุตของซอฟต์แวร์เฟล็อกลูปมีค่าตรงกับมุมแรงดันของแหล่งจ่ายโดยการควบคุมขนาดให้ V_d เท่ากับ V_m หรือ V_q เท่ากับศูนย์อย่างใดอย่างหนึ่งแต่การควบคุมขนาดให้ V_q เท่ากับศูนย์มีความหมายมากกว่า เพราะจะไม่ได้รับผลกระทบจาก V_m ที่อาจจะแปรค่าไปได้ ซึ่งสมการที่ (3.6) จะได้ $V_q = V_m (\sin(\Delta\theta))$ ในกรณีที่ค่า $\Delta\theta$ มีค่าน้อย เท่ากับ $\sin(\Delta\theta)$ ก็จะใกล้เคียงความเป็นจริงเส้นคือ $\sin(\Delta\theta) \approx \Delta\theta$ ส่วนตัวพาณิชย์ (Plant) จะเป็นตัวอินทิเกรต (Integrator) และเทอมป่อนไปหน้า (Feedforward) ω_{Offset} มีไว้เพื่อให้ระบบทำงานได้ดีขึ้นนั้นคืออัตราขยายของตัวควบคุมแบบเฟสตามและเฟสนำไม่จำเป็นต้องใหญ่มาก ω_{Offset} ที่ใช้คือ 100π ซึ่งเป็นค่าที่จุดการทำงาน ส่วนตัวควบคุมแบบเฟสตามและเฟสนำทำหน้าที่เพียงปรับความถี่ให้คงติดตามความถี่ของแหล่งจ่ายซึ่งจะแปรค่าไปมารอบจุดการทำงานเท่านั้น

3.5 การวิเคราะห์ผลกระทบต่อซอฟต์แวร์เฟล็อกลูปเนื่องจากความเพี้ยนของแหล่งจ่าย

3.5.1 แหล่งจ่ายแรงดันชนิดสามเฟสแบบไม่สมดุล

แหล่งจ่ายแรงดันเมื่อพิจารณาถึงความไม่สมดุลของแรงดันในแต่ละเฟสสามารถแสดงได้โดยสมการที่ (3.7)

$$\begin{bmatrix} V_a \\ V_b \\ V_c \end{bmatrix} = \begin{bmatrix} V_m \cos(\theta) \\ V_m (1+\beta) \cos(\theta - \frac{2\pi}{3}) \\ V_m (1+\gamma) \cos(\theta + \frac{2\pi}{3}) \end{bmatrix} \quad (3.7)$$

โดยที่ β และ γ เป็นค่าคงที่ แปลงแรงดันสามเฟสไปอยู่บนแกนหยุดนิ่ง โดยใช้สมการที่ (3.2)

$$\begin{bmatrix} V_\alpha \\ V_\beta \end{bmatrix} = \frac{2}{3} \cdot \begin{bmatrix} 1 & -\frac{1}{2} & -\frac{1}{2} \\ 0 & -\frac{\sqrt{3}}{2} & \frac{\sqrt{3}}{2} \end{bmatrix} \begin{bmatrix} V_m \cos(\theta) \\ V_m (1+\beta) \cos(\theta - \frac{2\pi}{3}) \\ V_m (1+\gamma) \cos(\theta + \frac{2\pi}{3}) \end{bmatrix}$$

$$\begin{bmatrix} V_\alpha \\ V_\beta \end{bmatrix} = \frac{2}{3} \cdot V_m \begin{bmatrix} \cos(\theta) - \frac{1}{2} \left((1+\beta) \cos(\theta - \frac{2\pi}{3}) + (1+\gamma) \cos(\theta + \frac{2\pi}{3}) \right) \\ -\frac{\sqrt{3}}{2} \left((1+\beta) \cos(\theta - \frac{2\pi}{3}) + (1+\gamma) \cos(\theta + \frac{2\pi}{3}) \right) \end{bmatrix}$$

$$\begin{bmatrix} V_\alpha \\ V_\beta \end{bmatrix} = \frac{2}{3} \cdot V_m \begin{bmatrix} \cos(\theta) - \frac{1}{2} \left((1+\beta) \left(\cos(\theta) \cos(\frac{2\pi}{3}) + \sin(\theta) \sin(\frac{2\pi}{3}) \right) + (1+\gamma) \left(\cos(\theta) \cos(\frac{2\pi}{3}) - \sin(\theta) \sin(\frac{2\pi}{3}) \right) \right) \\ \frac{\sqrt{3}}{2} \left(-(1+\beta) \left(\cos(\theta) \cos(\frac{2\pi}{3}) + \sin(\theta) \sin(\frac{2\pi}{3}) \right) + (1+\gamma) \left(\cos(\theta) \cos(\frac{2\pi}{3}) - \sin(\theta) \sin(\frac{2\pi}{3}) \right) \right) \end{bmatrix}$$

$$\begin{bmatrix} V_\alpha \\ V_\beta \end{bmatrix} = \frac{2}{3} \cdot V_m \begin{bmatrix} \cos(\theta) - \frac{1}{2} \left(2 \cos(\theta) \cos(\frac{2\pi}{3}) + (\beta + \gamma) \cos(\theta) \cos(\frac{2\pi}{3}) + (\beta - \gamma) \sin(\theta) \sin(\frac{2\pi}{3}) \right) \\ -\frac{\sqrt{3}}{2} \left(2 \sin(\theta) \sin(\frac{2\pi}{3}) + (\beta - \gamma) \cos(\theta) \cos(\frac{2\pi}{3}) + (\beta + \gamma) \sin(\theta) \sin(\frac{2\pi}{3}) \right) \end{bmatrix}$$

$$\begin{bmatrix} V_\alpha \\ V_\beta \end{bmatrix} = \frac{2}{3} \cdot V_m \begin{bmatrix} \cos(\theta) - \frac{1}{2} \left(-\cos(\theta) - \frac{1}{2}(\beta + \gamma) \cos(\theta) + \frac{\sqrt{3}}{2}(\beta - \gamma) \sin(\theta) \right) \\ -\frac{\sqrt{3}}{2} \left(\sqrt{3} \sin(\theta) - \frac{1}{2}(\beta - \gamma) \cos(\theta) + \frac{\sqrt{3}}{2}(\beta + \gamma) \sin(\theta) \right) \end{bmatrix}$$

$$\begin{bmatrix} V_\alpha \\ V_\beta \end{bmatrix} = \frac{2}{3} \cdot V_m \begin{bmatrix} \frac{3}{2} \cos(\theta) + \frac{1}{4}(\beta + \gamma) \cos(\theta) - \frac{\sqrt{3}}{4}(\beta - \gamma) \sin(\theta) \\ -\frac{3}{2} \sin(\theta) + \frac{\sqrt{3}}{4}(\beta - \gamma) \cos(\theta) - \frac{3}{4}(\beta + \gamma) \sin(\theta) \end{bmatrix}$$

$$V_\alpha = V_m \cos(\theta) + V_m \left[\frac{1}{6}(\beta + \gamma) \cos(\theta) - \frac{1}{2\sqrt{3}}(\beta - \gamma) \sin(\theta) \right] \quad (3.8)$$

$$V_\beta = -V_m \sin(\theta) + V_m \left[\frac{1}{2\sqrt{3}}(\beta - \gamma) \cos(\theta) - \frac{1}{2}(\beta + \gamma) \sin(\theta) \right] \quad (3.9)$$

จะเห็นได้ว่าเทอมที่ 2 ทางด้านขวาของสมการที่ (3.8) และ (3.9) เกิดจากแรงดันของเหลลงจ่ายในแต่ละเฟสไม่สมดุล จากนั้นแปลงสัญญาณจากเกนหุคันนิ่งไปอยู่ในเกนหมุนด้วยความเร็วซึ่งโครนัส โดยการแทนค่าจากสมการที่ (3.8) และ (3.9) ลงในสมการที่ (3.5) จะได้

$$\begin{aligned} V_q &= V_m \begin{bmatrix} \sin(\hat{\theta}) & \cos(\hat{\theta}) \end{bmatrix} \begin{bmatrix} \cos(\theta) + \frac{1}{6}(\beta + \gamma) \cos(\theta) - \frac{1}{2\sqrt{3}}(\beta - \gamma) \sin(\theta) \\ -\sin(\theta) + \frac{1}{2\sqrt{3}}(\beta - \gamma) \cos(\theta) - \frac{1}{2}(\beta + \gamma) \sin(\theta) \end{bmatrix} \\ V_q &= V_m \left[\sin(\hat{\theta}) \cos(\theta) + \frac{1}{6}(\beta + \gamma) \sin(\hat{\theta}) \cos(\theta) \right. \\ &\quad - \frac{1}{2\sqrt{3}}(\beta - \gamma) \sin(\hat{\theta}) \sin(\theta) - \cos(\hat{\theta}) \sin(\theta) + \frac{1}{2\sqrt{3}}(\beta - \gamma) \cos(\hat{\theta}) \cos(\theta) \\ &\quad \left. - \frac{1}{2}(\beta + \gamma) \cos(\hat{\theta}) \sin(\theta) \right] \\ V_q &= V_m \left[\sin(\hat{\theta} - \theta) + \frac{1}{2\sqrt{3}}(\beta - \gamma) (\cos(\hat{\theta}) \cos(\theta) - \sin(\hat{\theta}) \sin(\theta)) \right. \\ &\quad \left. - \frac{1}{2}(\beta + \gamma) \cos(\hat{\theta}) \sin(\theta) + \frac{1}{6}(\beta + \gamma) \sin(\hat{\theta}) \cos(\theta) \right] \end{aligned} \quad (3.10)$$

ถ้าให้ $\Delta\theta = \hat{\theta} - \theta$ มีค่าน้อยมาก ดังนั้น $\hat{\theta} \approx \theta$ หรือ $\hat{\theta} + \theta \approx 2\theta$ สมการที่ (3.10) สามารถเขียนให้เป็นรูปอย่างง่ายได้เป็น

$$\begin{aligned} V_q &\cong V_m \left[\sin(\hat{\theta} - \theta) + \frac{1}{2\sqrt{3}}(\beta - \gamma) \cos(2\theta) - \frac{1}{6}(\beta + \gamma) \sin(2\theta) \right] \\ V_q &\cong V_m \sin(\hat{\theta} - \theta) - V_m E_{pu} \cos(2\theta + \phi_{pu}) \end{aligned} \quad (3.11)$$

โดยที่ $E_{pu} = \sqrt{\left(\frac{\beta - \gamma}{2\sqrt{3}}\right)^2 + \left(\frac{(\beta + \gamma)}{6}\right)^2}$ และ $\phi_{pu} = -\tan^{-1}\left(\frac{(\beta + \gamma)}{\sqrt{3}(\beta - \gamma)}\right)$

เมื่อ V_g ถูกควบคุมขนาดให้เท่ากับศูนย์โดยตัวควบคุมแบบเฟสตามและเฟสนำ ค่าความผิดพลาดที่เกิดจากแหล่งจ่ายแรงดันชนิดสามเฟสแบบไม่สมดุลคือ

$$\Delta\theta \cong E_{pu} \cos(2\theta + \phi_{pu}) \quad (3.12)$$

ดังนั้นจะทำให้ทราบว่าค่าความผิดพลาดที่เกิดจากแหล่งจ่ายแรงดันชนิดสามเฟสแบบไม่สมดุลมีองค์ประกอบความถี่ 2ω เมื่อ ω คือความถี่ของแหล่งจ่ายแรงดันไฟฟ้า ($\omega = d\theta/dt$) ซึ่งถ้าออกแบบตัวควบคุมสามารถออกแบบให้มีความกว้างแคบ (Bandwidth) ที่สูงเพื่อให้มีความสามารถในการตัดความไม่สมดุลออกได้เป็นอย่างดี แต่ถ้าเมื่อเกิดแรงดันตกช้ำชนิดสามเฟสแบบไม่สมดุลสามารถทำให้เกิดความไม่สมดุลของแรงดันโดยการสร้างส่วนประกอบลำดับลบของแรงดันขึ้น ดังนั้นถ้าออกแบบตัวควบคุมให้มีความกว้างแคบที่สูง เอาต์พุตของซอฟต์แวร์เฟสสีอกลุปก็จะมีระลอก ดังนั้นสามารถแก้ไขได้โดยเลือกความกว้างแคบที่ต่ำลง โดยให้มีระลอกเนื่องจากแรงดันไม่สมดุลปรากฏที่เอาต์พุตของซอฟต์แวร์เฟสสีอกลุปเป็นรูปบัว

3.5.2 แหล่งจ่ายแรงดันชนิดสามเฟสที่มีองค์ประกอบสารมั่นคง

แหล่งจ่ายแรงดันเมื่อพิจารณาถึงองค์ประกอบสารมั่นคง แสดงได้ดังสมการที่ (3.13)

$$\begin{aligned} V_a &= V_1 \cos(\theta) + V_5 \cos(5\theta) + V_7 \cos(7\theta) + \dots \\ V_b &= V_1 \cos(\theta - \frac{2\pi}{3}) + V_5 \cos(5(\theta - \frac{2\pi}{3})) + V_7 \cos(7(\theta - \frac{2\pi}{3})) + \dots \\ V_c &= V_1 \cos(\theta + \frac{2\pi}{3}) + V_5 \cos(5(\theta + \frac{2\pi}{3})) + V_7 \cos(7(\theta + \frac{2\pi}{3})) + \dots \end{aligned} \quad (3.13)$$

โดยที่ V_1, V_5, V_7, \dots คือขนาดขององค์ประกอบสารมั่นคง

แปลงแรงดันสามเฟสไปอยู่บนแกนหยุดนิ่ง โดยใช้สมการที่ (3.2) จะได้

$$\begin{bmatrix} V_\alpha \\ V_\beta \end{bmatrix} = \frac{2}{3} \cdot \begin{bmatrix} 1 & -\frac{1}{2} & -\frac{1}{2} \\ 0 & -\frac{\sqrt{3}}{2} & \frac{\sqrt{3}}{2} \end{bmatrix} \begin{bmatrix} V_1 \cos(\theta) + V_5 \cos(5\theta) + V_7 \cos(7\theta) + \dots \\ V_1 \cos(\theta - \frac{2\pi}{3}) + V_5 \cos(5(\theta - \frac{2\pi}{3})) \\ + V_7 \cos(7(\theta - \frac{2\pi}{3})) + \dots \\ V_1 \cos(\theta + \frac{2\pi}{3}) + V_5 \cos(5(\theta + \frac{2\pi}{3})) \\ + V_7 \cos(7(\theta + \frac{2\pi}{3})) + \dots \end{bmatrix}$$

$$\begin{bmatrix} V_\alpha \\ V_\beta \end{bmatrix} = \frac{2}{3} \cdot \begin{bmatrix} \frac{3}{2}V_1 \cos(\theta) + \frac{3}{2}V_5 \cos(5\theta) + \frac{3}{2}V_7 \cos(7\theta) + \dots \\ -\frac{3}{2}V_1 \sin(\theta) + \frac{3}{2}V_5 \sin(5\theta) - \frac{3}{2}V_7 \sin(7\theta) + \dots \end{bmatrix}$$

$$\begin{bmatrix} V_\alpha \\ V_\beta \end{bmatrix} = \begin{bmatrix} V_1 \cos(\theta) + V_5 \cos(5\theta) + V_7 \cos(7\theta) + \dots \\ -V_1 \sin(\theta) + V_5 \sin(5\theta) - V_7 \sin(7\theta) + \dots \end{bmatrix} \quad (3.14)$$

จากนั้นแปลงสัญญาณจากแกนหมุนนิ่งไปอยู่ในแกนหมุนค่วยความเร็วซิงโกรนัส โดยการแทนค่าจากสมการที่ (3.14) ลงในสมการที่ (3.5) จะได้

$$V_q = \begin{bmatrix} \sin(\hat{\theta}) & \cos(\hat{\theta}) \end{bmatrix} \begin{bmatrix} V_1 \cos(\theta) + V_5 \cos(5\theta) + V_7 \cos(7\theta) + \dots \\ -V_1 \sin(\theta) + V_5 \sin(5\theta) - V_7 \sin(7\theta) + \dots \end{bmatrix}$$

$$V_q = V_1(\sin(\hat{\theta})\cos(\theta) - \cos(\hat{\theta})\sin(\theta)) + V_5(\sin(\hat{\theta})\cos(5\theta) + \cos(\hat{\theta})\sin(5\theta)) + V_7(\sin(\hat{\theta})\cos(7\theta) - \cos(\hat{\theta})\sin(7\theta)) + \dots \quad (3.15)$$

ถ้าให้ $\Delta\theta = \hat{\theta} - \theta$ มีค่าน้อยมาก ดังนั้น $\hat{\theta} \approx \theta$ หรือ $\hat{\theta} + \theta \approx 2\theta$ สมการที่ (3.15) สามารถเขียนให้เป็นรูปอย่างง่ายได้เป็น

$$V_q = V_1 \sin(\hat{\theta} - \theta) + (V_5 - V_7) \sin(6\theta) + (V_{11} - V_{13}) \sin(12\theta) + \dots \quad (3.16)$$

ดังนี้ค่าความผิดพลาดที่เกิดจากเหล่งจ่ายแรงดันที่มีองค์ประกอบชาร์มอนิกคือ

$$\Delta\theta = E_{h6} \sin(6\theta) + E_{h12} \sin(12\theta) + \dots \quad (3.17)$$

$$\text{โดยที่ } E_{h6} = \frac{V_5 - V_7}{V_1}, E_{h12} = \frac{V_{11} - V_{13}}{V_1}$$

จากสมการที่ (3.17) ทำให้ทราบว่าค่าความผิดพลาดที่เกิดจากเหล่งจ่ายแรงดันที่มีองค์ประกอบชาร์มอนิก มีองค์ประกอบความถี่ของ $6\omega, 12\omega, \dots$ ซึ่งเป็นการคูณ 6 เข้ากับความถี่ของเหล่งจ่ายแรงดัน ดังนั้นสำหรับปัญหาองค์ประกอบชาร์มอนิกในแรงดันสามารถแก้ไขได้โดยเดือดความกว้างแคบให้ต่ำลงเพื่อจำกัดให้มุ่งเอาต์พุตของซอฟต์แวร์เฟสลีอกลูปราบเรียบขึ้น

3.6 การออกแบบตัวควบคุมแบบเฟสตามและเฟสนำ

ตัวควบคุมแบบเฟสตามและเฟสนำในรูปที่ 3.3 เป็นแบบจำลองที่สร้างขึ้นจากการเชื่อมต่อฟังก์ชันถ่ายโอนอันดับหนึ่งในรูปของ $G_{con}(s) = K \cdot \left(\frac{1+T_1s}{1+T_2s} \right)$ ตัวควบคุมแบบเฟสตามและเฟสนำจะถูกเลือกนำมาใช้งาน เพราะว่าสามารถแสดงให้เห็นถึงคุณลักษณะในการกรองที่ดีกว่าตัวควบคุมแบบพื้นที่ [12] ดังนั้นจะสามารถหาฟังก์ชันถ่ายโอนแบบเปิด ($G_{open}(s)$) และแบบปิด ($G_{close}(s)$) ของซอฟต์แวร์เฟสล็อกลูปดังสมการต่อไปนี้

$$G_{open}(s) = \frac{K}{s} \cdot \left(\frac{1+T_1s}{1+T_2s} \right) \quad (3.18)$$

$$\text{จาก } G_{close}(s) = \frac{G_{open}}{1+G_{open}} ; \quad 1+G_{open} = 1 + \frac{K(1+T_1s)}{s(1+T_2s)} = \frac{s(1+T_2s)+K(1+T_1s)}{s(1+T_2s)}$$

$$G_{close}(s) = \frac{K(1+T_1s)}{s+T_2s^2+K+KT_1s}$$

$$= \frac{K(1+T_1s)}{T_2s^2+(1+KT_1)s+K}$$

$$= \frac{\frac{K}{T_2}(1+T_1s)}{s^2+\left(\frac{1+KT_1}{T_2}\right)s+\frac{K}{T_2}}$$

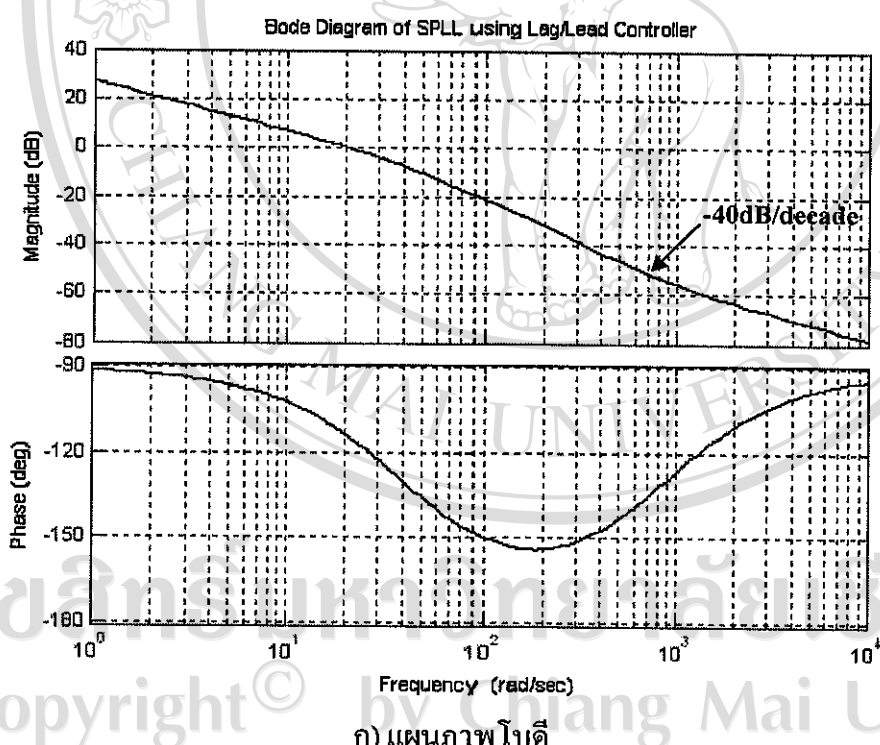
$$\therefore G_{close}(s) = \frac{\left(2\xi\varpi_n - \frac{1}{T_2}\right)s + \varpi_n^2}{s^2 + 2\xi\varpi_n s + \varpi_n^2} \quad (3.19)$$

เมื่อ $\xi = \frac{1}{2} \cdot \left(\frac{KT_1+1}{\sqrt{KT_2}} \right)$ และ $\varpi_n = \sqrt{\frac{K}{T_2}}$

โดยที่ ϖ_n คือ ความเร็วเชิงมุมในการแกว่งตามธรรมชาติ (undamped natural frequency)

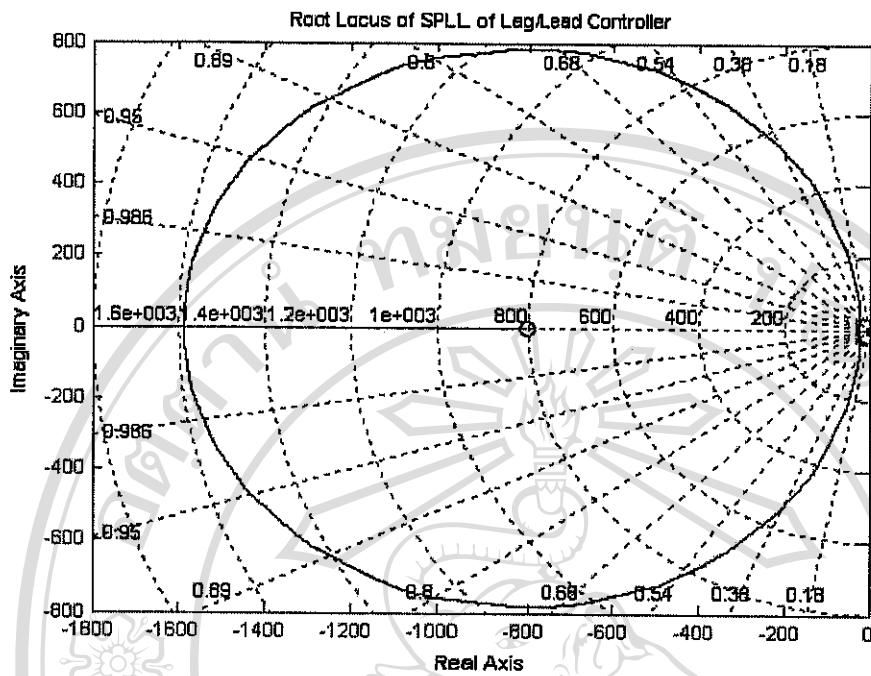
ξ คือ อัตราการหน่วนของระบบ (damping ratio)

จะเห็นว่าฟังก์ชันถ่ายโอนมี double integration รวมอยู่ด้วย ซึ่งมีวิธีมาตรฐานในการออกแบบอัตราขยายของตัวควบคุมคือวิธี symmetrical optimum (SO) [18] โดยที่จุดประสงค์อย่างหนึ่งของตัวควบคุมก็เพื่อที่จะกรองสารมอนิกที่ความถี่ 100 และ 300 เฮิรตซ์ ซึ่งเป็นผลมาจากการแรงดันของแหล่งจ่ายในแต่ละเฟสไม่สมดุล และแรงดันของแหล่งจ่ายที่มีองค์ประกอบของสารมอนิกตามลำดับโดยที่ได้แสดงรายละเอียดในหัวข้อที่ 3.5 และต้องรับประกันความทนทานต่อความล่าช้าของเวลาจากการสุ่ม(Sampling Delay Time)ได้ เพื่อให้บรรลุจุดประสงค์ค่า T_1 และ T_2 จะต้องถูกปรับแต่งเพื่อให้ค่าลดตอนมีค่า -50 dB ด้วยความชันเท่ากับ -40 dB/decade ซึ่งค่าอื่น ๆ ที่ใช้เป็นคั่งนี้ $\zeta = 0.707$; $\omega_n = 31.415$ rad/s; $K = 22.85$; $T_1 = 0.001242$ และ $T_2 = 0.02315$ รูปที่ 3.5 แสดงแผนภาพโนบดีของระบบแบบปีดและแผนภาพทางเดินของรากของระบบแบบปีด ซึ่งจากแผนภาพโนบดีจะเห็นว่าค่าอัตราขยายเท่ากับ -50 dB และค่ามุมไฟเซเท่ากับ -139° เมื่อความถี่ (ω) มีค่าเท่ากับ 628.3 rad/s และระบบมีส่วนเพื่อเฟส (Phase margin) เท่ากับ 41° ดังนั้นจะเห็นได้ว่าตัวควบคุมแบบเฟสตามและเฟสนำมีคุณลักษณะทางด้านการกรองที่ดี



ก) แผนภาพโนบดี

Copyright © by Chiang Mai University
All rights reserved



ข) ทางเดินของราก

รูปที่ 3.5 แผนภาพโบตี้และทางเดินของรากของระบบควบคุมซอฟต์แวร์เฟสสีอกลุบ

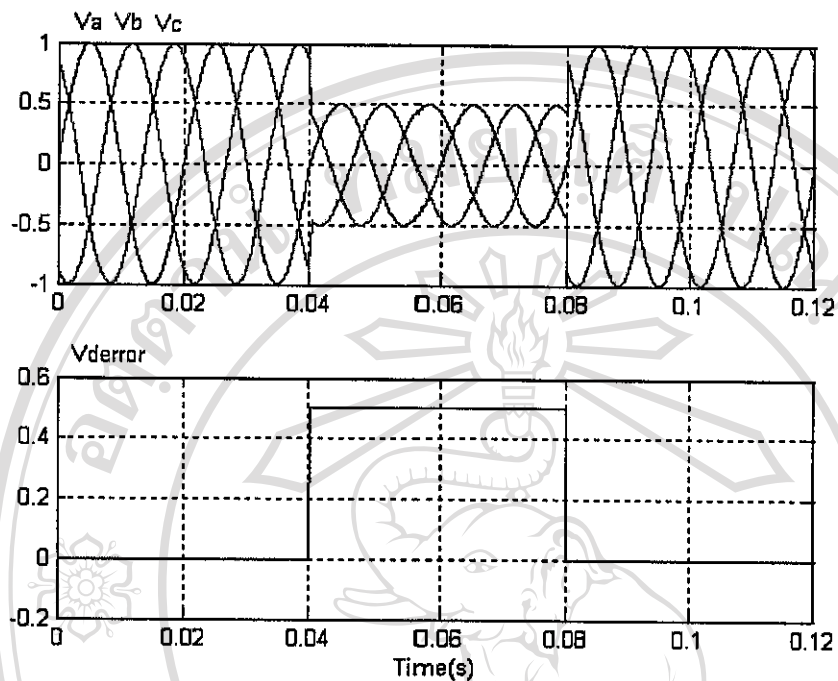
3.7 กระบวนการตรวจสอบการบรรบกวน

จากรูปที่ 3.4 แรงดันชนิดสามไฟสีจะแสดงอยู่ในรูปแรงดันกระแสตรงบนแกนหมุน $d-q$ ดังนั้นถ้าเกิดความเพี้ยนที่แหล่งจ่ายแรงดัน จะส่งผลกระทบให้เกิดความผิดเพี้ยนในค่า $d-q$ ด้วยซึ่งค่านี้นำไปสู่การผลิตสัญญาณที่เรียกว่าค่าความผิดพลาด ($V_{d_{error}}$) ที่ซึ่งจะแสดงการเบี่ยงเบนของแหล่งจ่ายแรงดันอินพุตไปจากค่าอ้างอิง โดยการตั้งค่าให้แรงดันชนิดสามไฟสีแบบสมดุลเป็นค่าอ้างอิง ($V_{d_{ref}}$) ดังนั้นแรงดันกระแสตรงที่ได้จากการที่ (3.5) ถูกนำมาเปรียบเทียบกับค่าอ้างอิงก็จะได้เป็นค่าความผิดพลาดซึ่งเป็นนาคของเวกเตอร์ดังสมการที่ (3.20)

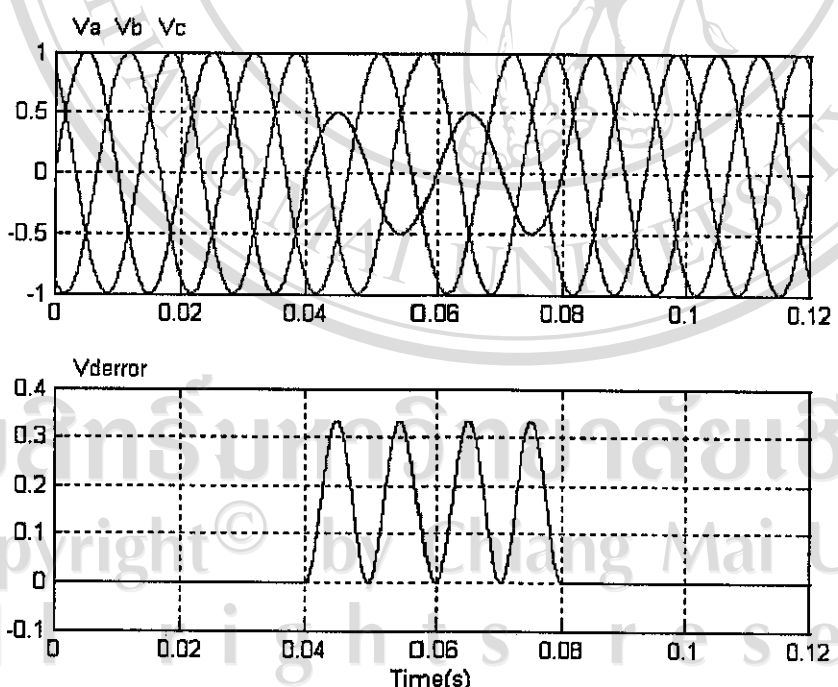
$$V_{d_{error}} = V_{d_{ref}} - V_d \quad (3.20)$$

ในกรณีแรงดันชนิดสามไฟสีแบบสมดุล ค่า $d-q$ จะเท่ากับค่าอ้างอิงซึ่งส่งผลให้ $V_{d_{error}}$ เท่ากับ 0 แต่ถ้าเกิดแรงดันตกช่วงขณะ $V_{d_{error}}$ จะเป็นค่าหนึ่งແพรตามลักษณะการเกิดแรงดันตกช่วงขณะนั้นคือ $V_{d_{error}}$ จะเป็นตัววัดการเกิดแรงดันตกช่วงขณะว่าเริ่มต้นและสิ้นสุดเมื่อใด ดังแสดงในรูปที่ 3.6 ซึ่งแสดงความสัมพันธ์ระหว่างแรงดันของแหล่งจ่ายชนิดสามไฟสีและ $V_{d_{error}}$ ในกรณี

ที่เกิดแรงดันตกชั่วขณะนิคสามเฟสแบบสมดุลและไม่สมดุล โดยกำหนดให้แรงดันเฟสของแหล่งจ่ายมีขนาดเท่ากับ 1 เปอร์เซนต์ (1 p.u.)



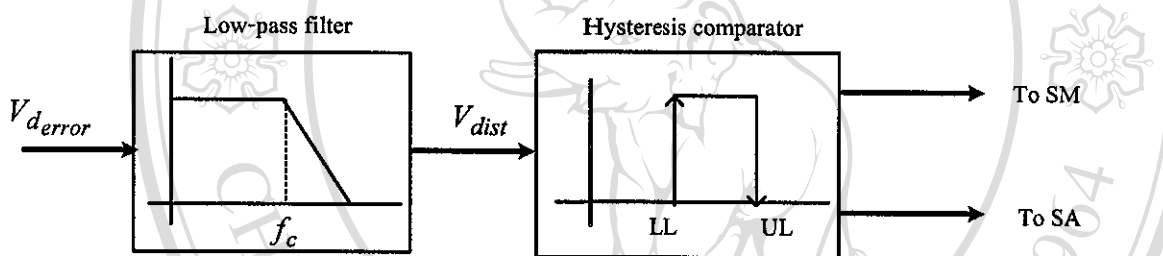
ก) แรงดันตกชั่วขณะนิคสามเฟสแบบสมดุลขนาด 50 % (50% three-phase balanced sag)



ข) แรงดันตกชั่วขณะนิคสามเฟสแบบไม่สมดุลขนาด 50 % (50% three-phase unbalanced sag)

รูปที่ 3.6 ความสัมพันธ์ระหว่างแรงดันของแหล่งจ่ายนิคสามเฟสและ V_{derror}

ด้วยเหตุที่ $V_{d_{error}}$ เป็นสัญญาณที่จะบ่งบอกเมื่อเกิดแรงดันตกช่วงขณะนี้ สัญญาณจึงถูกกรองด้วยตัวกรองความถี่ต่ำผ่าน (Low-pass filter: LPF) จากนั้นเข้าสู่ตัวเปรียบเทียบไฮสเตอริซิส (Hysteresis comparator) เพื่อสร้างสัญญาณเปิด/ปิด ตามระยะเวลาของการเกิดแรงดันตกช่วงขณะดังรูปที่ 3.7 โดยตัวกรองความถี่ต่ำผ่านจะทำให้สัญญาณ $V_{d_{error}}$ มีความรายเรียนมากขึ้นเพื่อเป็นการป้องกันสัญญาณรบกวนจากค่ารั่ว (Ripple) ส่วนเกินที่เกิดจากแรงดันตกช่วงขณะและเป็นส่วนสำคัญอย่างมากสำหรับการเกิดแรงดันตกช่วงขณะนิดสามไฟล์แบบไม่สมดุล เพราะถ้าค่ารั่วออกແກวงศ์ไปมาระหว่างขอบเขตที่ตั้งไว้ก็จะทำให้ตัวเปรียบเทียบไฮสเตอริซิสทำงานไม่ตรงตามช่วงเวลาของการเกิดได้ ส่วนขอบเขตล่าง (Lower Limit; LL) และขอบเขตบน (Upper Limit; UL) ของตัวเปรียบเทียบไฮสเตอริซิสจะเป็นตัวกำหนดค่าความไวของอุปกรณ์ว่าจะให้เปลี่ยนโหมดการทำงานเมื่อใด เพื่อควบคุมการทำงานของสวิตช์หลัก (SM) และสวิตช์ช่วย (SA)



รูปที่ 3.7 แผนภาพถือของระบบตรวจสอบการรบกวน